

# WÄRMELEITFÄHIGKEITSMESSUNGEN MIT DEM PLATTENGERÄT: EINFLUß DER SCHUTZRINGBREITE AUF DIE MEßUNGSICHERHEIT

K.-H. BODE

Physikalisch-Technische Bundesanstalt, Bundesallee 100,  
 D-3300 Braunschweig, West Germany

(Received 31 July 1979)

**Zusammenfassung**—Für Ein- und Zweiplattengeräte mit Schutzring wird das Temperaturfeld im Probekörper für kreisförmige und quadratische Platten berechnet und hieraus der Fehler abgeleitet, der durch den Wärmeaustausch am äußeren Rand des Schutzringes bei isothermen Heiz- und Kühlplatten und idealem Wärmekontakt entsteht. Der Fehler erweist sich als proportional zur reduzierten Temperaturdifferenz (Differenz zwischen mittlerer Probekörpertemperatur und Umgebungstemperatur geteilt durch Temperaturdifferenz zwischen Heiz- und Kühlplatte), wodurch der Randfehler durch entsprechendes Einstellen der Umgebungstemperatur optimal verkleinert werden kann. Experimente an einem Extruderschäum bestätigen die Folgerungen der rechnerischen Analyse. Für Plattengeräte gebräuchlicher Größen ermöglichen Diagramme und Tabellen, die aufgrund der abgeleiteten Beziehungen berechnet wurden, eine Randfehlerabschätzung der jeweiligen Meßanordnungen.

## FORMELZEICHEN

$A$ ,	Meßfläche;
$A_n$ ,	$n$ -ter Koeffizient der Fourierreihe (3a);
$a$ ,	halbe Kantenlänge der quadratischen Platte;
$\alpha$ ,	Wärmeübergangskoeffizient;
$\beta_{n,m}$ ,	Abkürzung nach Gl. (8);
$C_{n,m}$ ,	Koeffizient der Doppelreihe (3b);
$c$ ,	halbe äußere Kantenlänge des quadratischen Schutzringes;
$\vartheta$ ,	Temperatur;
$\vartheta_1$ ,	isotherme Kühlplattentemperatur;
$\vartheta_2$ ,	isotherme Heizplatten- und Schutzheizringtemperatur;
$\vartheta_m$ ,	arithmetische Mitteltemperatur $0,5(\vartheta_1 + \vartheta_2)$ ;
$\vartheta_u$ ,	konstante Umgebungstemperatur;
$\Delta\vartheta$ ,	Temperaturdifferenz ( $\vartheta_2 - \vartheta_1$ ) zwischen Heiz- u. Kühlplatte;

$I_0, I_1$ ,	modifizierte Besselfunktionen erster Art und nullter bzw. erster Ordnung;
$F_1, F_2$ ,	Fehlerfaktoren Gl. (9);
$\lambda$ ,	Wärmeleitfähigkeit der Probe;
$\lambda_s$ ,	scheinbare, gemessene Wärmeleitfähigkeit der Probe;
$\lambda_D$ ,	Wärmeleitfähigkeit des Dämmstoffes;
$p$ ,	dimensionsloser Wärmeaustauschparameter Gl. (5a) bzw. (5b);
$r, z$ ,	Zylinderkoordinaten;
$r_0$ ,	Probenhalbmesser;
$r_2$ ,	Schutzringhalbmesser außen;
$\rho$ ,	Abkürzung $n\pi r/z_0$ ;
$W$ ,	Wärmeleistung;
$VS$ ,	dimensionsloses Verhältnis Probenhöhe $z_0$ zum Plattendurchmesser $2r_0$ bzw. zur Kantenlänge $2a$ ;
$VB$ ,	dimensionsloses Verhältnis Schutzringbreite ( $r_2 - r_0$ ) bzw. ( $c - a$ ) zum Plattendurchmesser $2r_0$ bzw. zur Kantenlänge $2a$ ;
$x, y, z$ ,	Kartesische Koordinaten;
$\Delta x$ ,	Abstand Außenkante Schutzring bis zur 'Umgebung';
$z_0$ ,	Probenhöhe;
$\xi_m$ ,	$m$ -te Wurzel der Gl. (7).

\* Poensgen erwähnt zwei Vorläufer, die beide auf dem II. internationalen Kälte-Kongreß, Wien, 1910 (im Band II des Berichts veröffentlicht) über Schutzringanwendungen berichteten: E. R. Metz u.A. Behnc: 'Neue Apparate zur Bestimmung des Wärmeleitfähigkeitskoeffizienten', S.193; R. Biquard: 'L'efficacité des divers moyens d'isolement thermique des locaux frigorifiques.—Essays sur la conductibilité colorifique.', S.187. Als erster scheint A. Berget (C.r. 105 (1887) S.224; *J. Phys. (2)* 7 (1888) S.503) einen Schutzring (bzw. Schutzzyylinder) bei Wärmeleitfähigkeitsmessungen (an Quecksilber) angewandt zu haben. Berget verweist in seinen Arbeiten auf das elektrische Vorbild nach W. Thomson, der zur Sicherung eines homogenen elektrischen Potentialfelds einen 'guard ring' verwendete und wohl der Vater des 'Schutzringprinzips' ist. Die älteste dem Verfasser bekannte Quelle ist Thomsons 'Report on Electrometers and Electrostatic Measurements' im Report of the 37th Meeting of the British Association for the Advancement of Science, held at Dundee in September 1867 (1868), London.

## 1. EINLEITUNG

DAS 'SCHUTZRINGPRINZIP', das bei Ein- und Zweiplattengeräten für die Messung der Wärmeleitfähigkeit an Wärmeisolierstoffen praktiziert wird, ist durch die Arbeit von R. Poensgen [1] 1912 im deutschsprachigen Gebiet bekannt geworden\*. Der Schutzring soll Abweichungen des Temperaturfeldes im Testkörper vom idealen homogenen Feld, das sich als Lösung der eindimensionalen Wärmeleitungs-Differentialglei-

chung ergibt, verhindern und damit die Gültigkeit der einfachen Auswertung der Versuchsdaten sichern.

Qualitativ gilt: Je breiter der Schutzring im Vergleich zum Probendurchmesser und zur Probenhöhe ist, umso mehr 'schützt' er das Temperaturfeld vor Verzerrungen. Über das quantitative Ausmaß der Schutzwirkung ist nur wenig bekannt. So stützen sich die Dimensionierungsempfehlungen der in- und ausländischen Normblätter (z.B. DIN 52 612 [3]) vorwiegend auf experimentelle Erfahrung. Einige amerikanische Autoren (z.B. Woodside [2]) haben Berechnungen veröffentlicht, in denen das Problem zweidimensional behandelt wird und nicht realisierbare Randbedingungen vorausgesetzt werden.

Um die Teilnahme an einem Ringversuch, bei dem die Wärmeleitfähigkeit eines Extruderschaumes (Wärmeleitfähigkeit nahe der von Luft) gemessen werden sollte, zu ermöglichen, war es erforderlich, über eine genauere Kenntnis der quantitativen Abhängigkeit des Randfehlers von geometrischen und thermischen Größen des Versuchsaufbaues zu verfügen: Während die anderen Institute Geräte für quadratische Probenplatten von 500 mm Kantenlänge bei einer Probenhöhe von 50 mm verwendeten, stand in der Physikalisch-Technischen Bundesanstalt (PTB) nur ein Apparat für kreisförmige Platten von 120 mm Durchmesser zur Verfügung. Für die PTB-Apparatur hätte die Probenhöhe auf ein angemessenes Maß, das durch Erfahrungswerte gegeben war, reduziert werden müssen. Das war aber nicht ohne weiteres statthaft, weil bei Schäumen hinreichend geringer Rohdichte aufgrund von Strahlungseinflüssen sich die gemessene 'effektive' Wärmeleitfähigkeit mit der Höhe der Probe ändern kann.

Es wurde darum versucht, den Einfluß der Schutzringbreite bei Geräten mit Kreis- oder Quadratplatten zu analysieren. Die Berechnungen der vorliegenden Arbeit ergeben eine einfache Gesetzmäßigkeit des Randfehlers in Abhängigkeit von geräteseitig gegebenen Größen.

## 2. DIE DIFFERENTIALGLEICHUNGEN NEBST RANDBEDINGUNGEN UND IHRE LOSUNGEN

Für die folgenden Betrachtungen werde einschränkend eine homogene und isotrope Probe mit konstanter Wärmeleitfähigkeit  $\lambda$  vorausgesetzt. Der bewährten Meßpraxis bei Material mit relativ kleinem  $\lambda$  entsprechend soll der Meßkörper ohne Unterbrechung den Meßquerschnitt und das Schutzringgebiet bis zu dessen äußeren Rand bedecken. Um ausschließlich den Schutzringeinfluß untersuchen zu können, werden andere mögliche Fehler dadurch eliminiert, daß beide Stirnseiten der Probe einschließlich des Schutzrings als isotherm und der Wärmekontakt zwischen Heiz- bzw. Kühlplatten und den Probenoberflächen als vollkommen angenommen werden. (Voraussetzungen, die bei kleinem  $\lambda$  der Probe und

der hohen Wärmeleitfähigkeit des Begrenzungsmaterials— beispielsweise aus Kupfer—realistisch sind).

**Koordinatenfestlegung:** Bei der kreisförmigen und der quadratischen Platte sei der Koordinatensprung in das Zentrum der isothermen Kühlplattenseite mit der Temperatur  $\vartheta_1$  gelegt (siehe Abb. 1); normal zu dieser isothermen, ebenen Fläche sei die axiale Koordinate  $z$ ; die ebenfalls isotherme Heizfläche befinde sich bei  $z_0$  ( $z_0$  ist die Probenhöhe). Für die Kreisplatte gelte die radiale Koordinate  $r$  mit  $r_0$  als Probenradius und  $r_2$  als äußere Begrenzung. Bei der quadratischen Platte gelten die kartesischen Koordinaten,  $x$ ,  $y$ , wobei die halbe Kantenlänge  $x = a$  und  $y = a$  und die äußere Begrenzung des durchgehenden Probekörpers  $x = c$  und  $y = c$  seien<sup>†</sup>.  $r_0$  bzw.  $a$  soll die Mitte zwischen Heizplattenrand und innerer Heizringbegrenzung sein. Als Meßfläche  $A$  ist somit  $\pi r_0^2$  bzw.  $4a^2$  einzusetzen. Die angrenzende 'Umgebung' von konstanter Temperatur  $\vartheta_0$  ist bei ungeschützter Versuchsanordnung die Zimmerluft, bei Verwendung von Schutzabdeckungen die Abdeckwand am Orte  $r_2 + \Delta x$  bzw.  $a + \Delta x$ . Für den Wärmeaustausch am äußeren Probekörperrand  $r_2$  bzw.  $c$  gelte das Newtonsche Abkühlungsgesetz mit dem Wärmeübergangskoeffizienten- $\alpha$ , der bei Verwendung eines Wärmedämmstoffes der Wärmeleitfähigkeit  $\lambda_D$  zwischen Probenwand und Schutzhaube näherungsweise ersetzt wird durch

$$\alpha \approx \lambda_D / \left[ r_2 \cdot \ln \left( 1 + \frac{\Delta x}{r_2} \right) \right]$$

im Kreisfall oder  $\alpha = \lambda_D / \Delta x$  beim Quadrat.

### 2.1. Kreisförmiger Probenquerschnitt

Das Temperaturfeld  $\vartheta(z, r)$  ist festgelegt durch die Differentialgleichung

$$\frac{\partial^2 \vartheta}{\partial r^2} + \frac{1}{r} \frac{\partial \vartheta}{\partial r} + \frac{\partial^2 \vartheta}{\partial z^2} = 0 \quad (1a)$$

und die Randbedingungen

$$\begin{aligned} \vartheta &= \vartheta_1 \quad \text{für } z = 0, \\ \vartheta &= \vartheta_2 \quad \text{für } z = z_0 \end{aligned} \quad (2a)$$

$$-\lambda \left( \frac{\partial \vartheta}{\partial r} \right)_{r_2} = \alpha [\vartheta(z, r_2) - \vartheta_0].$$

Der Ansatz

$$\begin{aligned} \vartheta(z, r) &= \vartheta_1 + (\vartheta_2 - \vartheta_1) \frac{z}{z_0} \\ &+ \sum_{n=1}^{\infty} A_n \sin \left( \frac{n\pi}{z_0} z \right) I_0 \left( \frac{n\pi}{z_0} r \right) \end{aligned} \quad (3a)$$

genügt der Differentialgleichung (1a) und erfüllt die ersten beiden Randbedingungen.  $I_0(\rho)$  ist die modifizierte Besselfunktion erster Art und nullter Ordnung.

Die Konstanten  $A_n$  der Fourierreihe werden mit Hilfe der letzten Randbedingung berechnet und erge-

<sup>†</sup>  $r_1$  bzw.  $b$  sind vorsorglich für spätere Berücksichtigung der Anordnung mit Spalt vorbehalten.

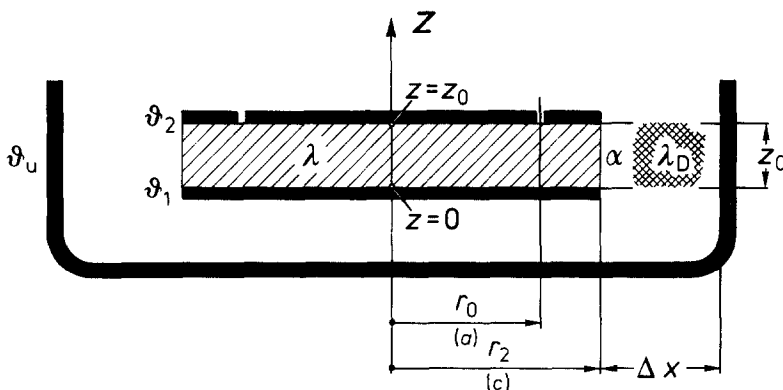


ABB. 1. Schema einer Plattenapparatur mit Schutzring. Radiale Koordinaten  $r$  für kreisförmige Platten (Plattendurchmesser =  $2r_0$ ); Koordinatenwerte in Klammern für quadratische Platten (Kantenlänge:  $2a$ ). Stirnflächen des Testkörpers einschließlich der Schutzringzone (bis  $r_2$  bzw.  $c$ ) isotherm ( $\vartheta_1$ ;  $\vartheta_2$ ). Konstante 'Umgebungstemperatur'  $\vartheta_u$ .

ben sich nach bekannter Rechenweise zu

$$A_n = \frac{-2(\vartheta_m - \vartheta_u)}{\Delta\vartheta} \left\{ \begin{array}{l} 2pz_0 \text{ für } n = 1, 3, 5 \dots \\ r_2 n^2 \pi^2 [I_1(\rho_2) + \frac{p}{\rho_2} I_0(\rho_2)] \text{ für } n = 2, 4, 6 \dots \end{array} \right. \quad (4a)$$

Hierin bedeuten die Abkürzungen

$$p = \frac{\alpha r_2}{\lambda}; \quad (5a)$$

$$\left. \begin{array}{l} \vartheta_m = \frac{\vartheta_2 + \vartheta_1}{2}; \\ \Delta\vartheta = \vartheta_2 - \vartheta_1; \end{array} \right\} \quad (6)$$

$\rho_2 = n\pi r_2/z_0$ ;  $I_1(\rho)$  ist die modifizierte Besselfunktion erster Art und erster Ordnung. Mit Kenntnis von  $A_n$  ist das Temperaturfeld  $\vartheta(z, r)$  bekannt. Die Fourier-Reihe in Gl. (3a) ist konvergent; ihre numerische Auswertung bereitet keine Schwierigkeiten, zumal nur—je nach Genauigkeitsansprüchen—verhältnismäßig wenige Glieder zu berechnen sind. Der dimensionslose Wärmeaustauschparameter  $p$  nach Gl. (5a) darf in Gl. (4a) auch unendlich werden. Aus Gl. (4a) wird dann

$$A_n^* = \frac{-2(\vartheta_m - \vartheta_u)}{\Delta\vartheta} \left\{ \begin{array}{l} 2 \text{ für } n = 1, 3, 5 \dots \\ n\pi I_0(\rho_2) \text{ für } n = 2, 4, 6 \dots \end{array} \right. \quad (4a^*)$$

### 2.2. Quadratischer Probenquerschnitt

Hier lautet die Differentialgleichung

$$\frac{\partial^2 \vartheta}{\partial x^2} + \frac{\partial^2 \vartheta}{\partial y^2} + \frac{\partial^2 \vartheta}{\partial z^2} = 0 \quad (1b)$$

und die Randbedingungen sind

$$\left. \begin{array}{l} \vartheta = \vartheta_1 \text{ für } z = 0 \\ \vartheta = \vartheta_2 \text{ für } z = z_0 \end{array} \right\}$$

und die vier Gleichungen

$$\left. \begin{array}{l} -\left(\frac{\partial \vartheta}{\partial x}\right)_{x=\pm c} = \alpha[\vartheta(\pm c, y, z) - \vartheta_u] \\ +\left(\frac{\partial \vartheta}{\partial x}\right)_{x=\pm c} = \alpha[\vartheta(\pm c, y, z) - \vartheta_u] \\ -\left(\frac{\partial \vartheta}{\partial y}\right)_{y=\pm c} = \alpha[\vartheta(x, \pm c, z) - \vartheta_u] \\ +\left(\frac{\partial \vartheta}{\partial y}\right)_{y=\pm c} = \alpha[\vartheta(x, \pm c, z) - \vartheta_u] \end{array} \right\} \quad (2b)$$

Der Lösungsansatz ist

$$\begin{aligned} \vartheta(x, y, z) = & \vartheta_1 + (\vartheta_2 - \vartheta_1) \frac{z}{z_0} + \sum_{n=1}^{\infty} \sum_{m=1}^{\infty} C_{n,m} \\ & \times \sin\left(\frac{n\pi}{z_0} z\right) \left[ \cos\left(\xi_m \frac{x}{c}\right) \cosh\left(\beta_{n,m} \frac{\alpha}{c}\right) \right. \\ & \left. + \cosh\left(\beta_{n,m} \frac{x}{c}\right) \cos\left(\xi_m \frac{\alpha}{c}\right) \right]. \end{aligned} \quad (3b)$$

Unter Verwendung von

$$p = \frac{\alpha c}{\lambda} \quad (5b)$$

bedeuten die Abkürzungen in Gl. (3b)

$$\xi_m = p \operatorname{ctg}(\xi_m) \quad (7)$$

die  $m$ -te Wurzel dieser transzendenten Beziehung, und

$$\beta_{n,m} = \left[ \left(\frac{n\pi}{z_0} z\right)^2 + \xi_m^2 \right]^{1/2}. \quad (8)$$

Der Ansatz Gl. (3b) erfüllt die Differentialgleichung und genügt den ersten beiden Randbedingungen. Die restlichen vier Gleichungen (2b) führen sämtlich auf dieselbe Bestimmungsgleichung für die Konstante  $C_{n,m}$ , wie man sich durch Einsetzen von Gl. (3b) und ihren entsprechenden Ableitungen in jene Gleichungen (2b) überzeugen kann, womit der relativ einfache Ansatz gerechtfertigt ist.

Der  $n$ -Teil der Doppelreihe ist wieder fourierscher Art, während der  $m$ -Teil zwar ebenfalls eine trigonometrische Reihe ist, jedoch mit Funktionen des Typus

$$\cos\left(\xi_m \frac{x}{c}\right).$$

Diese cos-Funktionen sind orthogonal, d.h. es gilt

$$\int_{-c}^{+c} \cos^2\left(\xi_m \frac{x}{c}\right) dx = c \left[ 1 + \frac{\sin 2\xi_m c}{2\xi_m} \right]$$

$$\int_{-c}^{+c} \cos\left(\xi_m \frac{x}{c}\right) \cdot \cos\left(\xi_{m'} \frac{x}{c}\right) dx = 0 \quad \text{für } m \neq m',$$

wenn  $\xi_m$  die Bedeutung von Gl. (7) hat. Ähnlich den Gesetzmäßigkeiten einer Fourier-Reihe eignen sie sich zur Reihendarstellung willkürlicher Funktionen (mit denselben Einschränkungen wie diese). Für die Bestimmung der  $C_{n,m}$  in Gl. (3b) werden die Temperatur und deren Differentialquotient (am jeweiligen Rand) in die vier letzten Randbedingungsgleichungen (2b) eingesetzt. Auflösen nach den zusammengefaßten Doppelreihen führt in allen vier Fällen auf dieselbe Bestimmungsgleichung für  $C_{n,m}$ . Man multipliziert mit

$$\sin\left(\frac{n\pi}{z_0} z\right) \cdot \cos(\xi_m \eta)$$

(wobei  $\eta = x/c$  oder  $\eta = y/c$  ist) und integriert zunächst über  $z$  von  $z = 0$  bis  $z = z_0$ , dann – unter Beachtung der angegebenen Orthogonalitätsbeziehungen – über  $\eta$  von  $\eta = -1$  bis  $\eta = +1$ . Mit den Abkürzungen nach Gln. (6), (5b) und (8) sowie unter Verwendung von Gl. (7) ergibt sich

$$C_{n,m} = \frac{-2(\vartheta_m - \vartheta_u)}{\Delta\vartheta} \cdot \frac{4}{n\pi} \cdot \frac{\xi_m \sin \xi_m}{[\xi_m^2 + p \cos^2 \xi_m]}$$

$$\times \begin{cases} p \\ \left[ \sinh \beta_{n,m} + \frac{p}{\beta_{n,m}} \cosh \beta_{n,m} \right] \end{cases} \begin{cases} \text{für } n = 1, 3, 5, \dots \\ \text{für } n = 2, 4, 6, \dots \end{cases} \quad (4b)$$

Auch hier ist der Grenzübergang  $p \rightarrow \infty$  möglich; Gl. (4b) lautet dann

$$C_{n,m}^* = \frac{-2(\vartheta_m - \vartheta_u)}{\Delta\vartheta} \cdot \frac{4}{n\pi} \cdot \frac{(-1)^m}{\xi_m}$$

$$\times \begin{cases} \beta_{n,m} \\ \cosh \beta_{n,m} \end{cases} \begin{cases} \text{für } n = 1, 3, 5, \dots \\ \text{für } n = 2, 4, 6, \dots \end{cases} \quad (4b^*)$$

**3. HERLEITUNG DES FEHLERS**

**3.1. Fehlerausdruck für die Kreisplatte**

Die Wärmeleistung  $W$  (die eventuell für Verluste durch Wärmeableitung durch die Verdrahtung, Stützelemente usw. korrigiert sein muß), die durch die Stirnfläche ( $z_0, r_0$ ) in den Probekörper eintritt, ist

$$W = 2\pi\lambda \int_0^{r_0} \left(\frac{\partial\vartheta}{\partial z}\right)_{z_0} dr = \lambda \left[ \pi r_0^2 \frac{\Delta\vartheta}{z_0} + 2\pi r_0 \sum_{n=1}^{\infty} (-1)^n A_n I_1(\rho_0) \right]$$

mit der Abkürzung  $\rho_0 = n\pi r_0/z_0$ . Bei üblicher, kritikloser Versuchsauswertung ist die gemessene, scheinbare Wärmeleitfähigkeit  $\lambda_s$ , und es gilt

$$W = \lambda_s \pi r_0^2 \frac{\Delta\vartheta}{z_0}$$

Nach Gleichsetzen beider Gleichungen und Umordnen erhält man

$$\frac{\lambda_s - \lambda}{\lambda} = \frac{2z_0}{r_0 \Delta\vartheta} \sum_{n=1}^{\infty} (-1)^n A_n I_1(\rho_0)$$

den Fehler, der bei unberücksichtigtem Randeinfluß besteht. Setzt man  $A_n$  nach Gl. (4a) ein, ergibt sich schließlich

$$\frac{\lambda_s - \lambda}{\lambda} = F_1 + \frac{\vartheta_m - \vartheta_u}{\Delta\vartheta} \cdot F_2, \quad (9a)$$

Hierbei bedeuten die nur von dem dimensionslosen Parameter  $p$  (Gl. (5c)) und geometrischen Größen abhängige Faktoren

$$F_1 = \frac{4z_0^2 p}{\pi^2 r_0^2} \sum_{n=2,4,6,\dots}^{\infty} \frac{I_1(\rho_0)}{n^2 \left[ I_1(\rho_2) + \frac{p}{\rho_2} I_0(\rho_2) \right]}, \quad (10a)$$

$$F_2 = \frac{8z_0^2 p}{\pi r_0^2} \sum_{n=1,3,5,\dots}^{\infty} \frac{I_1(\rho_0)}{n^2 \left[ I_1(\rho_2) + \frac{p}{\rho_2} I_0(\rho_2) \right]}, \quad (11a)$$

Im Grenzfall  $p \rightarrow \infty$  lauten die Faktoren

$$F_1^* = \frac{4z_0}{\pi r_0} \sum_{n=2,4,6,\dots}^{\infty} \frac{I_1(\rho_0)}{n I_0(\rho_2)}, \quad (10a^*)$$

$$F_2^* = \frac{8z_0}{\pi r_0} \sum_{n=1,3,5,\dots}^{\infty} \frac{I_1(\rho_0)}{n I_0(\rho_2)}, \quad (11a^*)$$

**3.2. Fehlerausdruck für die Quadratplatte**

In ähnlicher Weise ergeben die Rechnungen für die Quadratplatte

$$W = \lambda \int_{-a}^{+a} \int_{-a}^{+a} \left(\frac{\partial\vartheta}{\partial z}\right)_{z_0} dx dy = \lambda \left[ 4a^2 \frac{\Delta\vartheta}{z_0} + \frac{8c^2 \pi}{z_0} \sum_{n=1}^{\infty} \sum_{m=1}^{\infty} (-1)^n C_{n,m} \frac{n}{\xi_m \beta_{n,m}} \times \sin\left(\xi_m \frac{a}{c}\right) \sinh\left(\beta_{n,m} \frac{a}{c}\right) \right]$$

sowie

$$W = \lambda_s 4a^2 \frac{\Delta\vartheta}{z_0}$$

und schließlich

$$\frac{\lambda_s - \lambda}{\lambda} = \frac{2c^2 \pi}{a^2 \Delta\vartheta} \sum_{n=1}^{\infty} \sum_{m=1}^{\infty} (-1)^n C_{n,m} \frac{n}{\xi_m \beta_{n,m}} \sin\left(\xi_m \frac{a}{c}\right) \sinh\left(\beta_{n,m} \frac{a}{c}\right).$$

Einsetzen von  $C_{n,m}$  nach Gl. (4b) ergibt

$$\frac{\lambda_s - \lambda}{\lambda} = F_1 + \frac{\vartheta_m - \vartheta_u}{\Delta\vartheta} F_2, \quad (9b)$$

Die Faktoren  $F_1$  und  $F_2$  bedeuten hier—mit  $p$  nach Gl. (5b)—

$$F_1 = 8p \frac{c^2}{a^2} \sum_{m=1}^{\infty} \frac{\sin(\xi_m) \cdot \sin\left(\xi_m \frac{a}{c}\right)}{[\xi_m^2 + p \cos^2(\xi_m)]} \times \sum_{n=2,4,6\dots}^{\infty} \frac{\sinh\left(\beta_{n,m} \frac{a}{c}\right)}{\beta_{n,m}^2 \left[ \sinh \beta_{n,m} + \frac{p}{\beta_{n,m}} \cosh \beta_{n,m} \right]}, \quad (10b)$$

$$F_2 = 16p \frac{c^2}{a^2} \sum_{m=1}^{\infty} \frac{\sin(\xi_m) \cdot \sin\left(\xi_m \frac{a}{c}\right)}{[\xi_m^2 + p \cos^2(\xi_m)]} \times \sum_{n=1,3,5\dots}^{\infty} \frac{\sinh\left(\beta_{n,m} \frac{a}{c}\right)}{\beta_{n,m}^2 \left[ \sinh \beta_{n,m} + \frac{p}{\beta_{n,m}} \cosh \beta_{n,m} \right]} \quad (11b)$$

und im Grenzfall  $p \rightarrow \infty$  ( $a \neq c$ )

$$F_1^* = -8 \frac{c^2}{a^2} \sum_{m=1}^{\infty} (-1)^m \frac{\sin\left(\xi_m \frac{a}{c}\right)}{\xi_m^2} \times \sum_{n=2,4,6\dots}^{\infty} \frac{\sinh\left(\beta_{n,m} \frac{a}{c}\right)}{\beta_{n,m} \cosh \beta_{n,m}}, \quad (10b^*)$$

$$F_2^* = -16 \frac{c^2}{a^2} \sum_{m=1}^{\infty} (-1)^m \frac{\sin\left(\xi_m \frac{a}{c}\right)}{\xi_m^2} \times \sum_{n=1,3,5\dots}^{\infty} \frac{\sinh\left(\beta_{n,m} \frac{a}{c}\right)}{\beta_{n,m} \cosh \beta_{n,m}}. \quad (11b^*)$$

In den letzten Gleichungen werden die Wurzeln der Gl. (7)

$$\xi_m = \frac{(2m-1)\pi}{2}$$

### 3.3. Analytischer Befund

Für Kreis- und Quadratplatte hat das eingangs des 2. Kapitels fixierte Modell von Plattengeräten mit isothermen Stirnflächen der Testplatte einschließlich des Schutzringgebietes zu der formal gleichen Fehlergleichung geführt:

$$\frac{\lambda_s - \lambda}{\lambda} = F_1 + \frac{\vartheta_m - \vartheta_u}{\Delta\vartheta} F_2 \quad (9)$$

wobei die Fehlerfaktoren  $F_1$  und  $F_2$  nach den Gln. (10) und (11) definiert sind. Diese hängen, außer von dem dimensionslosen Wärmeaustauschparameter  $p$ , von geometrischen Größen ab, die durch Zusammenfassen ebenfalls dimensionslos gemacht werden können:

$$VS = \frac{z_0}{2r_0} \text{ bzw. } \frac{z_0}{2a} \quad (10)$$

das ist das Verhältnis der Probendicke zum Plattendurchmesser bzw. zur Kantenlänge; sowie durch

$$VB = \frac{r_2 - r_0}{2r_0} \text{ bzw. } \frac{c - a}{2a} \quad (11)$$

dem Verhältnis der Schutzringbreite zu denselben Plattenmaßen wie zuvor. Durch das Einführen dieser Größen verschwinden in den Fehlerfaktoren  $F_1$  und  $F_2$  sämtliche dimensionsbehafteten Größen, und ihre Abhängigkeit beschränkt sich auf die unabhängigen Variablen  $p$ ,  $VS$ ,  $VB$ .

Ersichtlich ist der Fehler keine Konstante, wie sich bei zweidimensionalen Näherungsrechnungen z.B. bei Woodside [2] ergibt, sondern hängt außer von  $F_1$  ( $p$ ,  $VS$ ,  $VB$ ) und  $F_2$  ( $p$ ,  $VS$ ,  $VB$ ) (die für denselben Einbau in ein Plattengerät konstante Faktoren  $F_1$  und  $F_2$  ergeben) maßgeblich von der reduzierten Temperaturdifferenz  $(\vartheta_m - \vartheta_u)/\Delta\vartheta$  ab.

Wie in später folgenden Rechnungen noch begründet werden wird, ist im praktischen Gebrauchsbereich der drei Variablen  $p$ ,  $VS$ ,  $VB$  vorwiegend

$$F_1 \ll F_2,$$

so daß der erste Fehlerfaktor vernachlässigt werden kann:

$$\frac{\lambda_s - \lambda}{\lambda} \approx \frac{\vartheta_m - \vartheta_u}{\Delta\vartheta} F_2. \quad (12)$$

Bei einstellbarer Umgebungstemperatur  $\vartheta_u$  auf die mittlere Meßtemperatur  $\vartheta_m = \frac{1}{2}(\vartheta_2 + \vartheta_1)$  hat der Experimentator somit die Möglichkeit, den Randfehler so klein zu machen, wie es die Unsicherheiten der Einzeltemperaturmessungen erlauben. Wird dagegen die Umgebungstemperatur nicht beachtet, kann der versuchskonstante Fehlerfaktor  $F_2$  u.U. durch nicht bemerktes positives oder negatives Anwachsen der reduzierten Temperaturdifferenz vervielfacht werden.

Bemerkenswert ist, daß nach Gl. (12) auch ohne quantitative Kenntnis des Faktors  $F_2$  der Fehler durch sinnvolles Anpassen der Umgebungstemperatur  $\vartheta_u$  klein gehalten werden kann.

### 4. EXPERIMENTELLE ÜBERPRÜFUNGEN

Im Hinblick auf die abgeleiteten Ergebnisse wurde die eigene Doppelplattenapparatur (mit  $r_0 = 61,0$  mm und  $r_2 - r_0 = 41,0$  mm) nach Abb. 2 durch einen kupfernen Zusatzschild um die Probe herum ausgerüstet und mit einer Kupferschlange verlötet, die die Abschirmung mittels thermostatisiertem Umlaufwasser auf eine meß- und einstellbare Temperatur (die 'Umgebungstemperatur'  $\vartheta_u$ ) zu regeln gestattet. Zwischen Probe einschließlich Heiz- und Kühlplatten und 'Umgebung' wurde Wärmedämmstoff aus locker geschichteter Watte gebracht, um Konvektion zu vermeiden und Strahlung zu unterbinden.

Näherungsgleichung (12) nach  $\lambda_s$  (der gemessenen

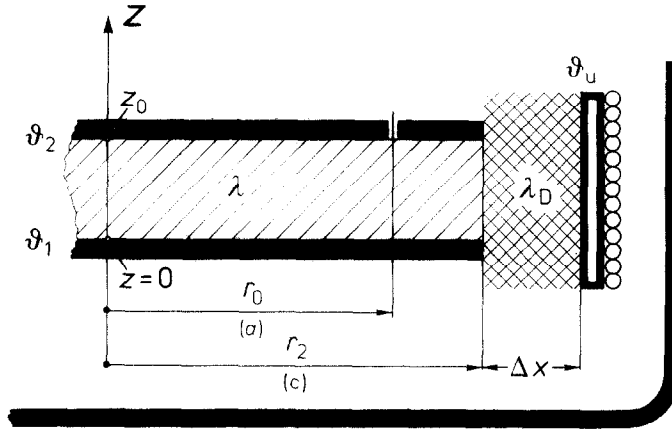


ABB. 2. Modifizierte Plattenapparatur mit isothermem Kupferschild, der die Umgebungstemperatur  $\theta_u$  wählbar einzustellen gestattet.

Wärmeleitfähigkeit) aufgelöst ergibt

$$\lambda_s = \lambda + \lambda F_2(p, VS, VB) \cdot \frac{\theta_m - \theta_u}{\Delta\theta} \quad (13)$$

eine lineare Abhängigkeit der Meßwerte  $\lambda_s$  von der reduzierten Temperaturdifferenz  $(\theta_m - \theta_u)/\Delta\theta$ , wenn bei deren Variation die mittlere Temperatur  $\theta_m$  und damit  $\lambda(\theta_m)$  konstant gehalten wird.

Diese analytische Gesetzmäßigkeit wurde durch gezielte Änderungen der Umgebungstemperatur  $\theta_u$  mit Hilfe obiger Zusatzeinrichtung experimentell überprüft, wobei  $\theta_m$  konstant gehalten wurde. Um den zu erwartenden Effekt möglichst groß zu machen, wurde eine möglichst hohe, stoffmäßig noch zulässige Meßtemperatur von  $\theta_m$  60°C gewählt. Das Ergebnis zeigt Abb. 3, das die lineare Abhängigkeit der gemessenen Wärmeleitfähigkeiten  $\lambda_s$  von der reduzierten Temperaturdifferenz bestätigt. Die wahre Wärmeleitfähigkeit der Probe  $\lambda$  ergibt sich am Schnittpunkt der eingezeichneten Näherungsgeraden mit der Ordinate bei  $(\theta_m - \theta_u)/\Delta\theta = 0$ .

Weiterhin kann man die Neigung der Geraden bestimmen, die nach Gl. (13) gleich  $\lambda F_2$  sein soll; nach Division mit dem jetzt bekannten  $\lambda$  ergibt sich das

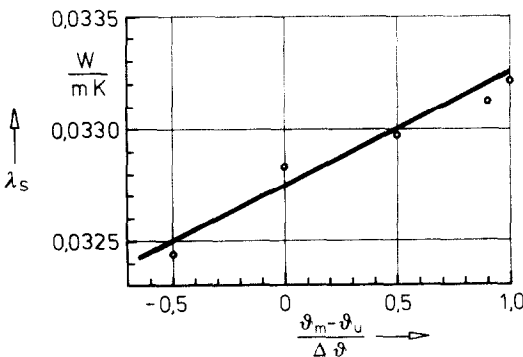


ABB. 3. Wärmeleitfähigkeitsmeßwerte  $\lambda_s$  von Extruderschäum über der reduzierten Temperaturdifferenz. ( $\theta_m$  = Mittel-,  $\Delta\theta$  = Differenz zwischen Heiz- und Kühlplatten-temperatur;  $\theta_u$  = Umgebungstemperatur). Meßwerte durch Gerade angenähert.

experimentelle  $F_2$ . Bei dem Vergleich mit zuvor berechneten  $F_2(p, VS, VB)$ -Werten für die festliegenden geometrischen Größen und für  $p$ -Werte von 0,1 bis  $\infty$  findet man Übereinstimmung von berechnetem und experimentellem Faktor  $F_2$  bei  $p$  zwischen den Zahlenwerten 2 und 3. Aus  $p$  wiederum läßt sich aus der Beziehung

$$p = \frac{\alpha r_2}{\lambda} \approx \frac{\lambda_D \cdot \lambda}{\ln \left[ 1 + \frac{\Delta x}{r_2} \right]}$$

die Wärmeleitfähigkeit  $\lambda_D$  des Wärmedämmstoffes berechnen, die hier die plausible Größe der Wärmeleitfähigkeit von Luft ergibt. (In diesem speziellen Beispiel sind  $F_2 \approx 0,02$  und  $F_1 \approx 0,0001$ ).

In ähnlicher Weise wurden Messungen ausgewertet, bei denen auf eine Wärmedämmung zwischen Probenrand und Kupferabschirmung verzichtet wurde. Der breite Luftspalt ließ eine Konvektion erwarten. Tatsächlich ergaben die Experimente  $\alpha$ -Werte von 9 bis 10  $Wm^{-2} K^{-1}$ , die etwa der natürlichen Konvektion an senkrechten Wänden entsprechen.

Insgesamt zeigen diese experimentellen Ergebnisse, daß die Modellvorstellungen zu einer guten Annäherung der realen Gegebenheiten führen.

### 5. NUMERISCHE BERECHNUNGEN

Die Fehlerfaktoren  $F_1$  und  $F_2$  in Gl. (9) hängen von den apparatemäßig gegebenen Variablen  $VS$  und  $VB$  ab, die mithin für dieselbe Apparatur und denselben Probekörper unveränderten Einfluß haben. Verbleibt noch die Abhängigkeit von dem Wärmeaustauschparameter  $p$  nach Gln. (5a) und (5b), dessen Größe zunächst abgeschätzt werden soll.

#### 5.1. Der Wärmeaustauschparameter $p$

$p = 0$  bedeutet vollkommene Wärmeisolation am äußeren Rande des Schutzringes: das Temperaturfeld im Probekörper und im Schutzring bleibt ungestört, und der Gesamtfehler verschwindet ( $F_1 = F_2 = 0$ ). - Wird am Rand kein Wärmedämmstoff verwendet, sondern Luft belassen, so stellt sich, wie die obigen

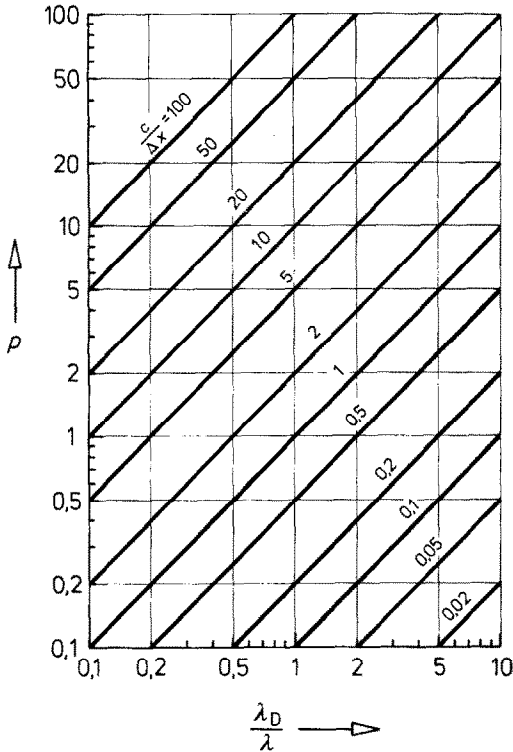


ABB. 4. Wärmeaustauschparameter  $p$  für quadratische Platten bei Verwendung eines Wärmedämmstoffes um die Meßanordnung.  $\lambda$  = Wärmeleitfähigkeit der Meßprobe,  $\lambda_D$  des Dämmstoffes;  $c$  = halbe Testplattenkantenlänge (Schurzringaußenmaß);  $\Delta x$  = Abstand zwischen Außenkante Schutzring bis zur 'Umgebung'.

Versuche zeigen, Konvektion ein, die je nach Gerätegröße zu verhältnismäßig großen  $p$ -Werten (etwa 20, 30, 50) führen. Bei den Berechnungen von  $F_1$  und  $F_2$  zeigt sich, daß bei mutmaßlicher Konvektion (mit praktisch unbekanntem  $\alpha$ )  $p$  ohne großen Rechenfehler durch  $\infty$  angenähert werden kann. Das führt zu etwas höheren, aber sichereren  $F_1$  und  $F_2$ -Werten.

Bei Verwendung eines Dämmstoffes der Wärmeleitfähigkeit  $\lambda_D$  kann  $\alpha$  in guter Annäherung durch

$$\alpha \approx \frac{\lambda_D}{r_2 \ln \left[ 1 + \frac{\Delta x}{r_2} \right]}$$

für den Kreisfall bzw.  $\alpha \approx \lambda_D/\Delta x$  für das quadratische Problem ersetzt werden. Dann wird

$$p \approx \frac{\lambda_D/\lambda}{\ln \left[ 1 + \frac{\Delta x}{r_2} \right]} \text{ bzw. } p \approx \frac{\lambda_D/\lambda}{\Delta x/c} \quad (13)$$

bei Kreis- bzw. Quadratplatte. Für letztere sind die Verknüpfungen im Diagramm der Abb. 4 dargestellt.

5.2. Fehlerfaktor  $F_2$

Einen groben Überblick über die auftretenden Größenordnungen vermittelt Abb. 5.  $F_2$  ist dort im logarithmischen Maßstab für die drei reduzierten Schutzringbreiten  $VB = 0,25; 0,375; 0,5$  über der reduzierten Probenstärke  $VS$  aufgetragen; der Parameter  $p$  ist von  $= 0,1$  bis  $\infty$  aufgeschlüsselt.

Die berechneten Werte gelten für die quadratische Plattenapparatur; diese Darstellung wurde mit Rücksicht auf die überwiegende Gebrauchspraxis des quadratischen Gerätetypus' gewählt. Die entsprechenden

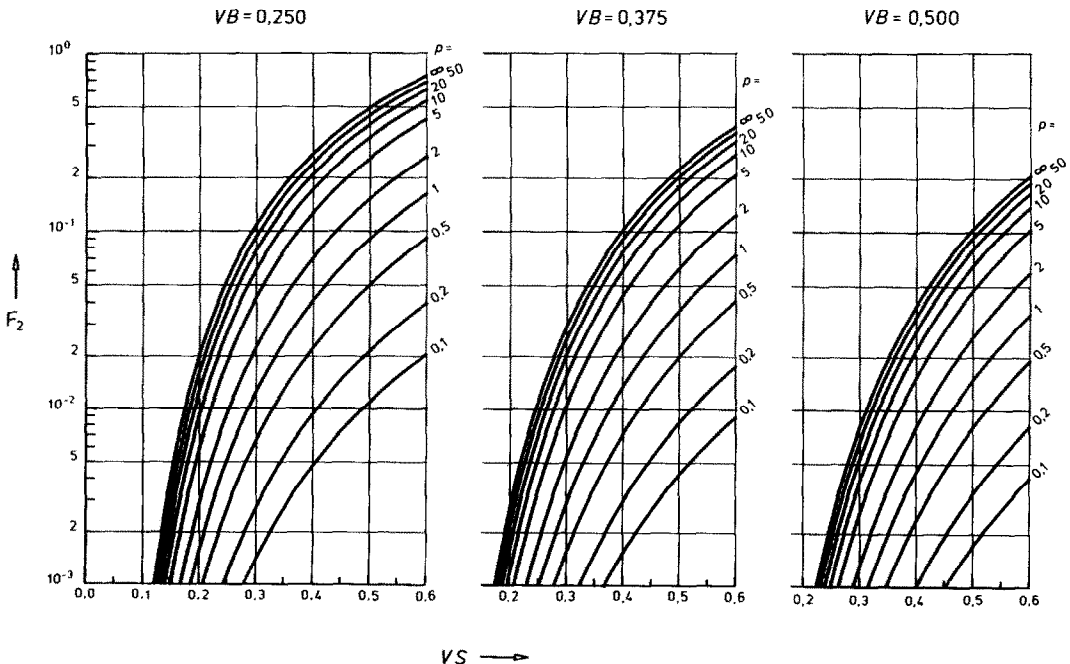


ABB. 5. Fehlerfaktor  $F_2$  ( $VS, VB, p$ ) über der reduzierten Plattenhöhe  $VS$  (Plattenhöhe durch Kantenlänge  $2a$ ) für drei reduzierte Schutzringbreiten  $VB$  (Schutzringbreite durch Kantenlänge) mit Parameterwerten  $p$ .

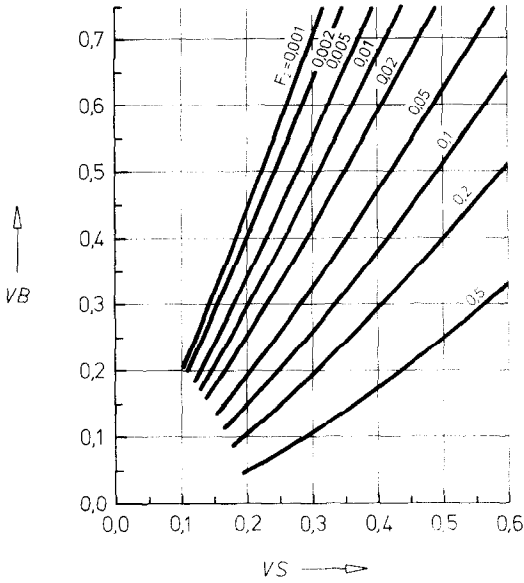


ABB. 6. Kurven konstanten Fehlerfaktors  $F_2$  für den Wärmeaustauschparameter  $p \rightarrow \infty$  im  $VB$  (Ordinate) –  $VS$  (Abszisse) Diagramm.

Werte für die Kreisplattengeräte unterscheiden sich hiervon nur geringfügig, wenn dieselben  $VS$ ,  $VB$  und  $p$ -Werte gelten. In den zeichnerischen Wiedergaben werden die Unterschiede meist von der Kurvenstrichstärke überdeckt. Allgemein sind die Zahlenwerte im Kreisfall etwas größer als die der quadratischen Platte. Wie schon erwähnt wurde, ist  $F_2$  im Gültigkeitsbereich der noch zu besprechenden Näherung  $F_1 \ll F_2$  repräsentativ für den Randfehler, der nicht nur von den geometrischen Verhältnissen abhängt, da  $F_2$  noch mit der reduzierten Temperaturdifferenz multipliziert werden muß.

Wie zu erwarten war, wird der Fehlerfaktor umso größer, je kleiner die Schutzringbreite und je größer die Proben dicke ist; außerdem wächst der Fehler mit größer werdenden  $p$ -Werten.  $p \rightarrow \infty$ , als höchste Grenze eingesetzt, führt zu einer sichereren Abschätzung.

Abb. 6 soll darüber informieren, welcher  $VS$ -Wert (Probenhöhe durch Plattenlänge) nicht überschritten werden darf, wenn bei gegebenem  $VB$  (Schutzringbreite durch Plattenlänge) ein gewünschter  $F_2$ -Wert gewahrt werden soll. Hierbei ist der Wärmeaustauschparameter  $p \rightarrow \infty$  zugrundegelegt. Beispiel: Bei  $VB = 0,25$  soll  $F_2$  nicht größer werden als 5%; dies ist gesichert, solange  $VS < 0,245$ . Für die nach DIN 52 612 [3] genormte Apparatur mit einer Kantenlänge von 500 mm und einer Schutzringbreite von 125 mm (entspr.  $VB = 0,25$ ) ergäbe dies eine maximale Probenhöhe von  $0,245 \cdot 500 \text{ mm} = 122,5 \text{ mm}$ .

Ähnlich ist Tabelle 1 zu handhaben. Hier ist der feste

Fehlerfaktor  $F_2 = 1\%$  vorgegeben und für gebräuchliche  $VB$ -Werte und die möglichen  $p$ -Variationen das jeweilige  $VS$  tabelliert.

5.2.1. Messungen ohne Schutzring. Trotz der bekannten Störanfälligkeit schutzringloser Messungen findet man auch in der Gegenwarts literatur immer wieder Publikationen solcher Untersuchungen. In Verkennung der Realitäten werden besonders Stoffe mit niedriger Wärmeleitfähigkeit als vermeintlich günstig charakterisiert, obwohl gerade diese zu einem hohen  $p$ -Wert führen (siehe Gl. (5)).

Die Gln. (10) und (11) erlauben auch, den schutzringlosen Fall ( $VB = 0$  bzw.  $r_2 = r_0$  oder  $c = a$ ) einzubeziehen; allerdings müssen Gln. (10\*) und (11\*) (für  $p \rightarrow \infty$ ) ausgeschlossen werden, da sie auf divergierende Reihen führen†). Das Ergebnis der Rechnungen für den Fehlerfaktor  $F_2$  zeigt Abb. 7. Die quantitative Größenordnung von  $F_2$  begründet eindringlich die Fehleranfälligkeit, die Messungen ohne Schutzring erwarten lassen.

5.3. Fehlerfaktor  $F_1$

Die Gesamtheit der Größen  $F_1(p, VS, VB)$  ähnelt qualitativ der von  $F_2$ , insbesondere gilt auch hier: Kleine Schutzringbreite  $VB$  und größere Proben dicke  $VS$  führen zu höheren  $F_1$ -Werten; ebenso wächst  $F_1$  mit größer werdendem  $p$ . Stets ist aber  $F_1$  kleiner als  $F_2$ . Der Bruch  $F_1/F_2$  wird umso größer, je größer  $p$  ist. In Abb. 8 ist  $F_1/F_2$  für  $p \rightarrow \infty$  über  $VB$  aufgetragen

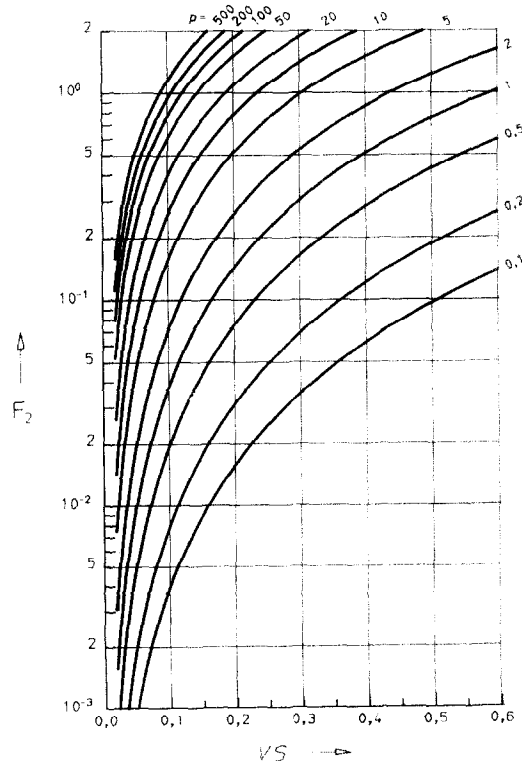


ABB. 7. Fehlerfaktor  $F_2$  über der reduzierten Plattenhöhe  $VS$  für Plattenapparaturen ohne Schutzring ( $VB = 0$ ). Wärmeaustauschparameter  $p$ . (Für  $p \rightarrow \infty$  wird  $F_2$  beliebig groß).

† Während die Fehlerformeln im Fall  $VB = 0$  und gleichzeitig  $p \rightarrow \infty$  versagen, konvergieren die Reihen in Gl. (3) für die Temperaturfelder: Es ergibt sich dort für  $\theta(r, z)$  bzw.  $\theta(x, y, z)$  eine Temperaturverteilung, die am äußeren Rand des Schutzrings in die konstante Temperatur  $\theta_0$  übergeht.



Tabelle 1. Maximalwerte  $VS$  (Probenhöhe durch Kantenlänge) bei quadratischer Platte für Fehlerfaktor  $F_2 = 1\%$ ;  $VB$ : Schutzringbreite durch Kantenlänge;  $p$ : Wärmeaustauschparameter nach Gl. (5b)

	$VB =$	0,20	0,25	0,30	0,35	0,40	0,45	0,50	0,55	0,60	0,65	0,70	0,75
$p = \infty$	$VS =$	0,15	0,17	0,20	0,23	0,26	0,28	0,31	0,34	0,36	0,39	0,41	0,44
50,0		0,15	0,18	0,21	0,24	0,27	0,29	0,32	0,35	0,37	0,40	0,42	0,45
20,0		0,16	0,19	0,22	0,25	0,28	0,30	0,33	0,36	0,38	0,41	0,44	0,46
10,0		0,17	0,20	0,23	0,26	0,29	0,32	0,35	0,37	0,40	0,43	0,46	0,48
5,0		0,19	0,22	0,25	0,28	0,31	0,34	0,37	0,40	0,43	0,46	0,48	0,51
2,0		0,22	0,25	0,29	0,32	0,35	0,38	0,42	0,45	0,48	0,51	0,54	0,57
1,0		0,25	0,29	0,32	0,36	0,39	0,43	0,46	0,50	0,53	0,56	0,59	0,63
0,5		0,29	0,33	0,37	0,41	0,45	0,48	0,52	0,56	0,59	0,63	0,67	0,70
0,2		0,36	0,41	0,45	0,50	0,54	0,59	0,63	0,67	0,71	0,75	0,79	0,83
0,1		0,43	0,49	0,54	0,59	0,64	0,69	0,74	0,78	0,83	0,88	0,92	0,97

mit  $VS$  als Parameter. Die  $F_1/F_2$ -Linien sind bei logarithmischem Maßstab der Ordinate praktisch Gerade, die für  $VB = 0$  einen Grenzwert nahe  $F_1/F_2 = 0,5$  anstreben.

Als rechnerischer Grenzfall ergibt sich für  $VS \rightarrow \infty$  (unendlich hoher Probekörper) für  $F_1/F_2$  eine horizontale Gerade bei 0,5. Diesert Wert ist gleichzeitig der theoretische Maximalwert für  $F_1/F_2$ . Bei unzureichend kleinen Schutzringbreiten  $VB$  (z.B  $VB < 0,25$ ) ist  $F_1/F_2$  immer noch so groß, daß  $F_1$  zu einem nicht

vernachlässigbaren Anteil des Gesamtfehlers führt; eine Tatsache, die bei der Fehlerbeurteilung für Messungen ohne Schutzring erschwerend ins Gewicht fällt.

Oberhalb  $VB = 0,25$  ist bei sinnvoller Wahl von  $VS$  der Zahlenwert von  $F_1/F_2$  stets so klein, daß hindreichend begründet ist, den konstanten Fehleranteil  $F_1$  ( $VS, VB, p$ ) vernachlässigen zu dürfen.

Die gestrichelten Linien in Abb. 8 sind Kurven konstanten Fehlerfaktors  $F_2$ . Diese Darstellung läßt erkennen, daß bei praxisnahem Bemühen, den einfluß-

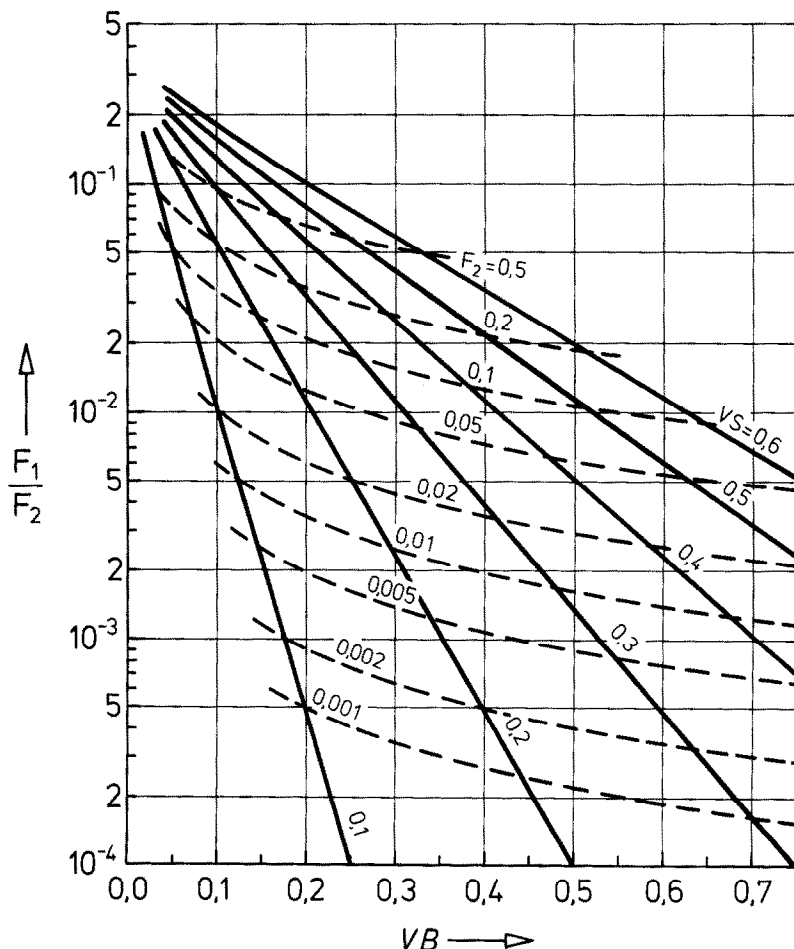


ABB. 8. Quotient  $F_1/F_2$  der Fehlerfaktoren über der reduzierten Schutzringbreite für  $p \rightarrow \infty$ ; Parameter (ausgezogene Kurven) reduzierte Probenhöhe  $VS$ . Gestrichelte Kurven sind Linien konstanten Fehlerfaktors  $F_2$ .

reichen Fehlerfaktor  $F_2$  hindreichend kleinzuhalten (z.B. 1%),  $F_1/F_2$  nur einige Tausendstel beträgt; daß andererseits große  $F_2$ -Werte (z.B. 20%), die die Messung ohnehin wertlos machen, zusätzlich hohe  $F_1$ -Werte mit sich bringen.

*Anerkennung*— Herr H. W. Krupke hat weitgehend die Programmierarbeiten bei den numerischen Rechnungen durchgeführt; Herr R. Jugel hat die experimentellen Untersuchungen vorgenommen. Beiden Mitarbeitern schulde ich

aufrichtigen Dank.

#### LITERATUR

1. R. Poensgen, *Z. Ver. dt. Ing.* **56**, 1653 (1912); und Mitteilungen über Forschungsarbeiten auf dem Gebiete des Ingenieurwesens Heft 130 (1912).
2. W. Woodside, Symposium on Thermal Conductivity Measurements and Applications of Thermal Insulations, *Am. Soc. Testing Mats.* No. 217, 49 (1957).
3. DIN 52 612, Teil 1 Bestimmung der Wärmeleitfähigkeit mit dem Plattengerät.

#### THERMAL CONDUCTIVITY MEASUREMENT WITH THE PLATE APPARATUS: INFLUENCE OF THE GUARD RING WIDTH ON THE ACCURACY OF MEASUREMENT

**Summary**—The temperature field in circular and square plate test specimens is calculated and thereby the error from the heat exchange at the outer edge of the guard ring derived for single and double plate devices under conditions of isothermal hot and cold plates and ideal thermal contact. The error is shown to be proportional to the reduced temperature difference (difference between the mean specimen and the ambient temperatures divided by the difference between the hot and cold plate temperatures) and the margin of error, therefore, can be optimally reduced by an appropriate adjustment in the ambient temperature. Experiments on an extruder foam confirm the results of the analytical calculations. Diagrams and tables which are developed on the basis of the above derived relationships, make possible estimation of margin of error for different measuring arrangements for plate devices of usual sizes.

#### MESURE DE LA CONDUCTIVITE THERMIQUE AVEC L'APPAREIL A PLAQUE: INFLUENCE DE LA LARGEUR DE L'ANNEAU DE GARDE SUR LA PRECISION DE LA MESURE

**Résumé**—La température dans les éprouvettes plates circulaires et carrées est calculée et l'erreur due à l'échange thermique à l'extérieur de l'anneau de garde est dérivée, pour des montages à une ou deux plaques, sous des conditions de plaques chaudes et froides et de contact thermique idéal. L'erreur est proportionnelle à la différence de température réduite (différence entre les températures moyennes de l'échantillon et de l'ambiance, divisée par la différence des températures des plaques chaude et froide) et la marge d'erreur peut être réduite par un ajustement approprié à la température ambiante. Des expériences sur de la mousse confirme les résultats des calculs analytiques. Des diagrammes et des tables établies à partir de cette étude permettent l'estimation de la marge d'erreur pour différentes conditions de mesure sur des dispositifs à plaque de taille usuelle.

#### ИЗМЕРЕНИЕ ТЕПЛОПРОВОДНОСТИ ПЛАСТИНЧАТЫМ ПРИБОРОМ: ВЛИЯНИЕ ШИРИНЫ ПРЕДОХРАНИТЕЛЬНОГО КОЛЬЦА НА ТОЧНОСТЬ ИЗМЕРЕНИЙ

**Аннотация**— Рассчитывается температурное поле в круглых и квадратных пластинчатых образцах, и определяется ошибка в измерениях величины теплового потока на внешней поверхности предохранительного кольца в приборах с единичной и сдвоенными пластинами в условиях изотермического нагрева и охлаждения и идеального термического контакта. Показано, что ошибка пропорциональна приведенной разности температур (отношение разностей температур образца и окружающей среды и температур нагретой и охлажденной пластин), поэтому она может быть уменьшена путем подбора соответствующей температуры окружающей среды. Результаты аналитических расчетов проверены экспериментально. Диаграммы и таблицы, составленные на основе предложенных соотношений, позволяют оценить пределы ошибок для различных измерительных пластинчатых приборов обычных размеров.